

京都大学防災研究所 正会員 土岐憲三
 京都大学防災研究所 正会員 三浦房紀
 中国電力 ○正会員 野口雅之

1. まえがき

前回、著者らはジョイント要素を地盤と杭基礎との接触面のモデル化に適用し、この面における動的干渉離合や滑動現象を考慮に入れて杭基礎構造物の地震応答解析を行い、接触面上での動的干渉力を定量的に評価することによって地震時における杭の周面摩擦力に関する検討を加えている¹⁾。今回はこれと同じ解析手法を用いて、フーティングの根入れが杭基礎構造物の地震時挙動および杭の応力状態におよぼす影響について検討したものである。

2. 解析モデル

フーティングの根入れ効果を調べるために以下に説明する4通りのモデルを設定する。

(1) モデル1はフーティングが地表面下に根入れされている場合であり、根入れ効果としてはフーティング前面での水平抵抗と摩擦抵抗および底面での摩擦抵抗、鉛直方向の抵抗が導入される。

(2) モデル2はフーティングが地表面上にある場合である。したがってフーティングの前面抵抗ではなく、底面における摩擦抵抗のみが期待されるモデルである。ただし、フーティングが地表面上に出たときに杭長はモデル1に比べて8倍長くなっている。これに次のモデル3も同様である。

(3) モデル3はモデル2と同じくフーティングが地表面上にある場合であるが、フーティング底面にあるジョイント要素による摩擦抵抗は持たせていない。すなわち、地上的構造物に作用する水平力を全て杭で抵抗することになる。

(4) モデル4はモデル1と同様にフーティングが根入れされていいる場合であるが、前面抵抗を生じさせないためにフーティング前面のジョイント要素を取り、ここではフーティングと地盤とは全く独立な挙動を取り得るようにしてモデルである。

以上4通りのモデルの設定条件を表-1に示す。
 本研究では上記4通りのモデルの各々に対しても一層地盤と二層地盤の2通りを考えて、計8通りのモデルに対して検討を加える。図-1に地盤-杭基礎構造物系の概略図を、表-2にその諸元を示す。なお、以下においては、モデル1の一層地盤

表-1 モデルの設定条件

	モデル1	モデル2	モデル3	モデル4
フーティングの位置	地表面下	地表面上	地表面上	地表面下
前面での抵抗	有	無	無	無
底面での摩擦抵抗	有	有	無	有
杭長(m)	48	56	56	48

表-2 モデルの諸元

	単位体積重量 γ (t/m ³)	積荷速度 C (m/s)	ホアソン比 ν	減衰定数 h
地盤	$\gamma_1 = 1.7$ $\gamma_2 = 1.8$	$C_1 = 100$ $C_2 = 300$	0.333	0.20
下部工	$\gamma_3 = 3.0$ $\gamma_4 = 2.4$	1600	0.167	0.05
フーティング	2.4	1600	0.167	0.05
ジョイント	粘着力 $C_J = 10 \text{ t/s}^2$, 摩擦角 $\phi_f = 30^\circ$			

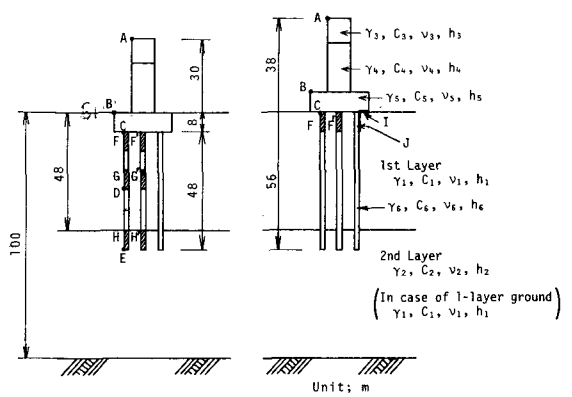


図-1 杭基礎構造物-地盤系の解析モデル

からなるモデルを「モデル1-1」、二層地盤からなるモデルを「モデル1-2」と呼び、他のモデルについても同様に呼ぶことにする。入力としては、最大加速度をNS成分を200gal、UD成分を117galに修正してEl Centro (1940) の加速度記録を用い、両成分を同時に入力している。

3. 解析結果とその検討

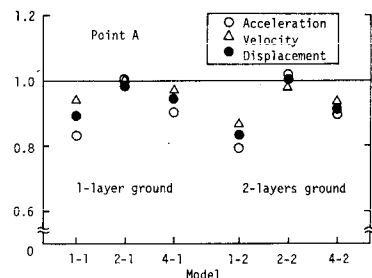
3.1 破壊構造物の加速度、速度、変位応答に及ぼすフーテンジの根入れの影響 図-2は各モデルの最大応答量と、一層地盤の場合におけるモデル3-1の応答量で、二層地盤の場合は「モデル3-2」の応答量で正規化して示したものである。図(a)は天端(点A)における値である、図(b)はフーテンジ上の一点(点B)における値である。これより「モデル1-1」および「モデル1-2」に付随しては一層地盤でのフーテンジの速度応答を除いてしまって10~30%の応答量の低下が認められる。これはフーテンジの根入れ効果として制振効果の期待できることを示唆するものと考えられる。

3.2 破壊動的応力に及ぼすフーテンジの根入れの影響 図-3は杭頭要素(要素F)における動的な応力の最大値を、図-2と同様にそれぞれ「モデル3-1」、「モデル3-2」の応力を正規化して示したものである。これよりフーテンジが根入れられて、前面での抵抗を期待できる「モデル1-1」と「モデル1-2」の応力の低下が著しい。特にせん断応力 τ_{xy} に対してその傾向が顕著であり、「モデル1-1」ではほぼ半減している。「モデル4-1」、「モデル4-2」に於ける応力の低下はみられず、約10%程度であり、「モデル2-1」、「モデル2-2」ほどほとんど応力低下はみられない。以上よりフーテンジ前面での抵抗が杭の応力低下に大きく影響を及ぼすが、フーテンジ底面における摩擦抵抗はこれに対してあまり影響を及ぼさないと考えられる。

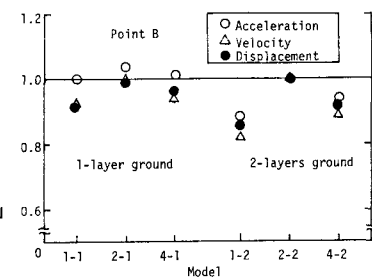
3.3 杭の曲げモーメントに及ぼす影響 杭を又別の要素でモデル化し、図-4に示すように2つの要素の中心における杭軸方向の応力 σ_a と σ_b から曲げモーメントを算定し、最大値の分布を示してある(図-5)。

図(a)は「モデル1-1」、「モデル1-2」、図(b)は「モデル3-1」、「モデル3-2」に対する結果である。図よりフーテンジの根入れる有する「モデル1-1」の曲げモーメントは根入れがない「モデル3-1」のそれに比べて半分以下となつており、これは曲げモーメントに及ぼすフーテンジの根入れ効果と考えられる。しかしながら「モデル1-2」「モデル3-2」とはほとんどの程度の値であり、フーテンジの根入れによって大幅な曲げモーメントの低下が認められない場合もあることがわかる。以上より、フーテンジの根入れ効果として制振効果、応力および曲げモーメントの低下が期待されることが明らかになつたが、一般的な結論を得るためににはさらに多くの場合についての検討が必要である。

◎参考文献 1)野口、工坂、三浦:強震時における
3層基礎の鉛直支持力と周面摩擦力、
第35回土木学会年次講演会



(a) 天端での応答値の比較



(b) フーテンジでの応答値の比較

図-2 応答値の比較

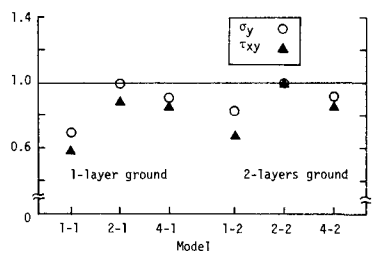
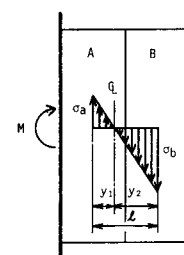


図-3 応力の比較



$$M = \frac{I}{L} (-\sigma_a + \sigma_b)$$

図-4. 曲げモーメントの算定方法

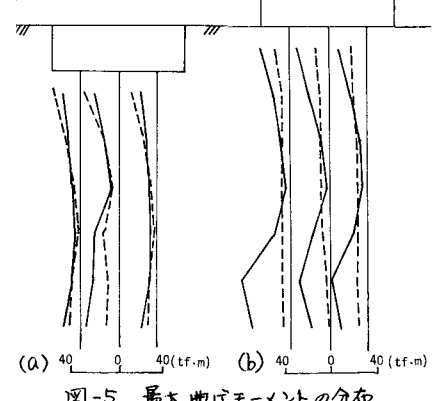


図-5. 最大曲げモーメントの分布